

تأثير اهتزازات الاتصال على الاستجابة الدينامية لمنظومة توربينية - ضاغطة

د.موفق علي توفيق * عادل عبد نابف

تاريخ التسليم : ٢٢ / ٨ / ٢٠٠٢

تاريخ القبول : ١٠ / ٦ / ٢٠٠٤

الخلاصة

يستناول البحث دراسة الاستجابة الدينامية للعمود الدوار الخاص بمنظومة توربينية - ضاغطة جراء التأثير الدينامي للاتصال، حيث تسنول تأثير تغيير الزاوية التصميمية لدخول وخروج كل من الغاز والنصل، وفقدان نسبة من كتلة النصل وبوجود الاهتزاز القسري على السرعة الحرجة وتوزيع المقادير الجانبية للاهتزاز على طول المنظومة. تمت الدراسة على منظومة توربينية - ضاغطة (FIAT) إيطالية الصنع من نوع (TG20-SN,297) تعمل حالياً في محطة الدورة لتوليد الطاقة الكهربائية، إذ تبلغ سرعتها التشغيلية (4918 r.p.m).

أخذت هذا الدراسة بنظر الاعتبار تأثير قوى الفص وتأثير العزم الجابروسكوبي للنظام بأكمله، وتأثير التخميد لطبقة الزيت بالنسبة لكراسي التحميل وكذلك تأثير قوى عدم الموازنة الناتجة من وجود الاختلافات المركزية لكل العمود الدوارة، لقد تم الاعتماد في التحليل على طريقة المصفوفات الانتقائية فقد طورت هذه الطريقة بتطبيقها على نظام معقد (نموذج للانظمة ذات المتفرعات العديدة المتلقية في موقع واحد)، حيث اعتمدت على المبادئ الأساسية لتصميم التوربين الغازي في حساب القوة المسانطة على طول سطح النصل من خلال حساب السرعة الترددية والمحورية باستخدام مخطط السرعة لدخول وخروج الغاز ومرحلة واحدة فقط.

أظهرت النتائج أن وجود الاضطراب المفاجئ في المنظومة والناتج من خسارة جزء من كتلة إحدى الاتصال يؤدي إلى حدوث زيادة واضحة في قيم السرعة الحرجة وكذلك في قيم سعة الاهتزاز عند مراتب تلك السرعة، كما يلاحظ عدم تغير في قيم وعدد مراتب السرعة الحرجة بتغير الزوايا التصميمية لدخول وخروج كل من الغاز والنصل بينما قيم ساعات الاهتزاز تزداد بشكل واضح عند تغير قيم هذه الزوايا.

Effect of Blades Vibration on the Dynamic Response of Turbo-Compressor System

Abstract

The research studies the effect of the blade vibration on the dynamic response of turbo-compressor rotor system. The design angles for the blades, gas entrance and exits and the missing of a fraction of blade mass have been studied with the existence of the forced vibration. The critical speeds and the eigen modes have been computed taking into account the effect of the cited factors.

Shear effect, gyroscopic effect, bearing damping and the unbalance forces are catered for the analysis of the system has been achieved using the transfer matrix method. The transfer matrices are developed to consider the complex system pattern which is composed of many branches meeting in point located on the system rotor, which represents a disk stage.

The basic principles for designing the gas turbine have been adopted in calculating the subjecting forces of the gas along the blade surface using the triangle velocities diagram for the gas inlet and exist for each single stage.

The results show clearly when the system loses a part or fraction of any blade, a sudden disturbance is noticed. An increase in the critical speed and the amplitudes of vibration are revealed. An effect of the gas and blade angles change on the critical speeds values and orders are noticed. The effect is only confined on the amplitude of vibration.

المقدمة:

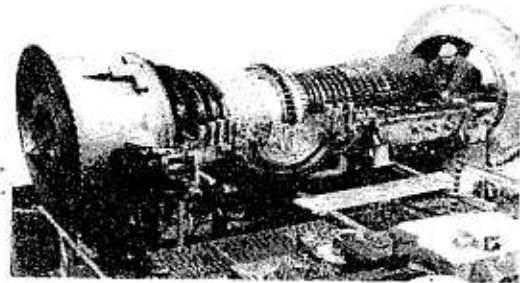
وتعيين أشكال الاطوار للمنظومة بواسطة استخدام قيم انحرافات النصل عند حصول الرنين بالاعتماد على عملية تقريب ترددات المنظومة إلى اقرب ترددات تم الحصول عليها من نصل مثبت من طرف واحد (Blade Cantilever).

وتوصل الباحث إلى عدد من الاستنتاجات أهمها أن مجموعة القرص والنصل المثبت فيه تظهر بعض الاستجابات الرنينية عند مدى محدود من الترددات، حيث لوحظ أنه عند ترددات معينة أقل من الترددات الرنينية للنظام فإن زاوية الطور لكل نصل سوف تتبع مباشرة زاوية الدالة القسرية (Forcing Function). بينما عندما تكون الترددات أعلى من الترددات الرنينية للنظام، فإن زاوية الطور لكل نصل تكون متأخرة بـ (180) درجة عن زاوية الدالة القسرية. أما إذا كانت الترددات من ضمن الترددات الرنينية للنظام فإنه لا يمكن ربط زاوية الطور بالانصال مع زاوية الطور للدالة القسرية، وتم مواصلة دراسة تحليل الاستجابة التوقفية للعمود الدوار حيث قام الباحثون [3] (Sakata et. al.,1983)، بدراسة تأثيرات الحمل الصدمي والاهتزازات لعمود دوار ذو وزن خفيف ودراسة السرعة العالية التي تنشأ من خسارة إحدى الأنصال. ولاحظ عند ظهور زيادة مفاجئة لحالة عدم الاتزان فإن قيمة أقصى سعة للاهتزاز تزداد مع زيادة مرونة القرص.

قام الباحث [4] (Kaushal,1992) بدراسة السلوك الدينامي لنظام محمل-عمود دوار-قرص ذو أنصال (Bladed Disk-Turborotor-Bearing System) وهذا النظام يتكون من عدة أنظمة ثانوية (القرص التوربيني، الأنصال، المحامل، والركائز المساندة). وتم دراسة الاهتزاز على الأنظمة الثانوية المنفذة باستخدام طريقة (Rayleigh-Ritz Method) والتسي تقرض شكل الدوال (Shape Function) ذات الحدود المتعددة. ثم جمع الأنظمة الثانوية باستخدام طريقة العناصر المحددة، حيث تم حساب الترددات الطبيعية وشكل النسق والتي تم الحصول عليها من خلال تغير السرعة الدورانية، وكذلك تم حساب سعة الاهتزاز والاجهادات الناتجة بسبب القوة الطاردة المركزية والقوى التوافقية (Harmonic Force) المسيطة على النصل والقرص. واستنتج أن القوة الطاردة المركزية هي العامل الرئيسي لتحديد الاجهاد الحرج بالمقارنة مع قوة ضغط العسار على نموذج النصل كحامل توافقي.

كما قام الباحثان [5] (Rieger & Zhou, 1998) بإجراء تحليل

تستخدم الأعمدة الدوارة في المكين الصناعية مثل التوربينات البخارية والغازية والمولدات التوربينية (Turbogenerator) ومحركات الاحتراق الداخلي، والضواغط المحورية والترددية لنقل الطاقة (Power Transmission) وغيرها، وبسبب الطلبي المتزايد لنقل الطاقة تظهر أهمية هذا الحقل الهندسي من خلال الحصول على مكائن ذات كفاءة عالية واقتصادية في نفس الوقت ولتحقيق هذه الأهداف فقد ظهرت مشاكل عديدة في تصميم المنظومات التوربينية التي تتعرض التوربينات ذات الجريان المحوري فيها إلى اجهادات عالية على النصل بسبب ارتفاع كمية الشغل المطلوب وكذلك ارتفاع درجات الحرارة والتي من الممكن مواجهتها للوصول إلى الحلول المثلى لتجاوز الصعوبات في حل المشكلة ولأقرار التصاميم الكفوءة لذلك تم دراسة السلوك الدينامي لمنظومة غازية ذات مراحل متعددة والموضحة في شكل (1).



شكل (1) نموذج في مقطع منظومة

غازية ذات المراحل المتعددة

البحوث السابقة

تم بحث تأثير القوة الطاردة المركزية على سرعة تردد الذبذبات الطبيعية نظريا وعمليا من قبل الباحث [1] (Saleh, 1979) باستخدام العتسية الكابولية المكافئة لنصل مجوف وقد مثل هذا التأثير بعلاقة تعبر عن التغير في سرعة التردد أثناء الدوران واستخدمت هذه العلاقة أثناء إيجاد أشكال الأطوار الاهتزازية. وتوصل إلى أن سرعة التوربين لها تأثير في زيادة سرعة تردد الذبذبات الطبيعية ونقصان في سعة الإزاحة العرضية.

أما فيما يخص الاهتزاز في الضاغط فقد قام الباحث [2] (Fabunmi, 1980) باستخدام طريقة شبه تجريبية (Semi-Empirical) بالاعتماد على أشكال الطور التي تم الحصول عليها تجريبياً لغرض دراسة استجابة اهتزاز العمود الدوار لضغط محوري ذو (23) نصل

بالإضافة إلى التأثير الناتج من الأحمال الدينامية الخارجية وقوى عدم الموازنة.

القوى والعزوم على محطات العمود الدوار

١. قوة القصور الذاتي التي تؤثر على الكتل المتمركز لمحطات العمود الدوار عند التردد الزاوي (Ω) تكون بالصيغة التالية:

$$\begin{aligned} -m \frac{\partial^2 x}{\partial t^2} &= m_i \Omega^2 x \\ -m \frac{\partial^2 y}{\partial t^2} &= m_i \Omega^2 y \quad \dots (1) \\ -m \frac{\partial^2 z}{\partial t^2} &= m_i \Omega^2 z \end{aligned}$$

٢. العزوم القصورية التي تؤثر على عزوم القصور الذاتي القطبي والمحوري عند محطات العمود الدوار وعند تردد زاوي (Ω) تكون:

$$\left. \begin{aligned} (I_x \ddot{\theta}_x - M_y \dot{\theta}_x) &= -\Omega^2 I_{xz} \theta_z - M_{xz} \\ (I_y \ddot{\theta}_y - M_x \dot{\theta}_y) &= -\Omega^2 I_{yx} \theta_x - \Omega^2 M_{xy} - M_{oy} \\ (I_z \ddot{\theta}_z - M_z \dot{\theta}_z) &= -\Omega^2 I_{zy} \theta_y - \Omega^2 M_{zx} - M_{oz} \end{aligned} \right\} \dots (2)$$

حيث أن

$$\Delta I = (I_z - I_x)$$

٣. قوى عدم الموازنة (U) هي القوى المتمركزة عند محطة العمود الدوار ، ومركباتها تمثل من خلال (\ddot{x}_x) و (\ddot{y}_y) حيث أن: $\ddot{y}_y = \ddot{y}_p \cos \omega t$ و $\ddot{x}_x = \ddot{x}_p \sin \omega t$ [7] ، [8].

$$\left. \begin{aligned} \ddot{y}_y &= \ddot{y}_p \cos(\omega t) - \Omega^2 \ddot{y}_p \sin(\omega t) \\ \ddot{x}_x &= \ddot{x}_p \cos(\omega t) - \Omega^2 \ddot{x}_p \sin(\omega t) \end{aligned} \right\} \dots (3)$$

٤. قوة ردود الفعل عند مواقع كراسي التحميل ، لكل محمل تمثل بـ (8) معاملات للصلابة والتخميد، القوى المسلطة على الكراسي التحميل تكون بالصيغة التالية:

$$\left. \begin{aligned} M_p \ddot{y} + K_{yy}(y - y_p) + D_{yp}(\dot{y} - \dot{y}_p) &= K_{yx}(x - x_p) \\ -D_{yp}(\dot{y} - \dot{y}_p) - \Omega^2 U_y - F_{oy} &= (V_y^R - V_y^L) \\ M_p \ddot{x} - K_{xx}(x - x_p) + D_{xp}(\dot{x} - \dot{x}_p) &= K_{xy}(y - y_p) \\ + D_{xp}(\dot{x} - \dot{x}_p) - \Omega^2 U_x - F_{ox} &= (V_x^R - V_x^L) \end{aligned} \right\} \dots (4)$$

رياضي وحاسوبي لحسابات معقدة لأنظمة عمود دوار-محامل والقاعدة (Rotor-Bearing-Pedestal-Foundation System) التحليل على طريقة المصفوفات الانتقالية لـ (Prohl-Myklest) وتتم استخدام ثمانية محامل مساعدة للحصول على مدارات بيضوية لحركة العمود الدوار، وهذه المحامل مركبة على أطواق مرنة وثقيلة والتي بدورها تكون مثبتة على تركيبية أساسية ذات خواص منتظمة لتوزيع الكتلة والجبساء، والقاعدة بدورها مستندة على عدد من الركائز المخمدة بصورة منتظمة. وكما درس الباحثان [6] (Rieger & Zhou) وبنفس العام إجراء تحليل رياضي للأنظمة ذات المستويات الثلاث (Three-Level Multi-Span Rotor System)

المتعددة الأوساط ومن خلال هذه الدراسة تم إيجاد ظروف عدم الاستقرار (Unstability Condition) بواسطة إيجاد القيم المميزة (Eigenvalues) لمحددة النظام، والتي تم الحصول عليها بواسطة طريقة المصفوفات الانتقالية. وقد تم حل محددة الاستقرار (Stability Determinate) لأوطا سرعة دورانية والتي عندها يصبح تخميد النظام مساويًا للصفر، وتبينت الدراسة عمود دوار جاسئ للمحاملين مخمدين مرنيين ودعائم ذات انثائية (Flexible Support). كما تم أخذ حالة ثانية ناقشت حالة العمود الدوار ذو خاصية انثائية مع أربعة محامل مخمدة مرنة. أما الحالة الثالثة فقد قارنت استقرارية وحدة توليد توربينية بقدرة (300Mw) ذات ستة محامل باستخدام نوعين مختلفين من المحامل.

وتوصلت الدراسة إلى أنه تم الحصول على تقارب كبير بين النتائج المستحصلة من هذه الدراسة ونتائج أخرى سابقة حصل عليها هذا الباحث لقيم عتبة السرعة (Threshold Speed) وترددات التدويم، كما تم التوصل إلى أن طريقة المصفوفات الانتقالية هي طريقة كفوءة وبالإمكان الحصول على دقة مضاعفة للنتائج باستخدام القيم الذاتية المعقدة (Complex Eigenvalues).

أما البحث الحالي فقد تضمن دراسة التأثير الدينامي للأنصال المتحركة باعتبارها أنظمة متفرعة، وتأثير كل من الاضطراب المفاجئ جراء خسارة جزء من إحدى الأنصال وكذلك تأثير الزوايا التصميمية للأنصال على الاستجابة الدينامية للنظام وذلك باستخدام طريقة المصفوفات الانتقالية التي تأخذ بنظر الاعتبار تأثيرات قوى القص، العزوم الجايروسكوبية، تغير مساحة المقطع على طول العمود الدوار، ومعاملات المرونة والتخميد لكراسي التحميل

— العزم المسلط في حالة الضاغطة ذو الجريان

المحوري المسنن (τ_s) .

$$\tau_s = \dot{m}_g (r_e v_e - r_i v_i) \quad \dots (9)$$

— العزم المسلط في حالة الجريان المسنن

للتوربين (τ_e) .

$$\tau_e = \dot{m}_g (r_i v_i - r_e v_e) \quad \dots (10)$$

النموذج ومحدداته

(The Model and Limitations)

المواصفات العامة للنموذج

1. منظومة غازية (FIAT) من نوع (TG20-SN.297) تنتج طاقة كهربائية تقدر حوالي (37MW) وتعمل بسرعة تشغيلية مقدارها (4918 r.m.p) والتي تعمل حالياً في محطة الدورة .
2. تتكون المنظومة من ثلاث مراحل للتوربين وثمانية عشر مرحلة للضاغط المحوري.
3. كرسبين تحميل من نوع (Journal Bearing) ذات مواصفات متماثلة تسند المنظومة عند طرفيها القريبين من النهاية الحرة.
4. يزن العمود الدوار الخاص بالمنظومة (17500 kg) وطول (6.5 m).
5. تم تبني ثلاث نماذج من الأنصال المتحركة الخاصة بتوربين المنظومة ذات أبعاد وتصاميم مختلفة تبعاً للمرحلة التي تعمل فيها وقيست عملياً بإبعادها الثلاث في المعهد المتخصص للتصاميم الهندسية.

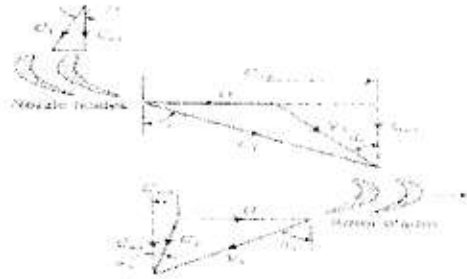
محددات النموذج (Limitations)

1. أهمل التخميد الداخلي لمعدن المنظومة.
2. افترض أن السلوك خطي مرن لجميع أجزاء المنظومة.
3. وجود التشوه الحاصل من قوى انقباض في تحليل كل من العمود الدوار والأنصال المثبتة في قرص ذلك العمود .
4. تمثل طبقة الزيت في كراسي التحميل بعدد مركب من الصلابة والتخميد بصورة ماثلة ومستعرضة.
5. تمتلك المنظومة عدد غير محدد من الأقراص والمحامل.
6. كتل العمود الدوار وكتل الأقراص ذو الأنصال هي متمركزة في نقاط منفصلة ، لكن المرونة (الأنشائية) هي موزعة وفق نظرية العتبات.

حيث أن X_p ، Y_p تمثل إزاحات (Pedestal) و (\dot{r}, \dot{v}_p) هي سرعة (Pedestal) .

القوى والعزوم المسلطة على سطح النصل والنتيجة من ضغط الغاز

تعرف القوة الناتجة من قوة ضغط الغاز بأنها مقدار التغير في زخم الغاز باتجاه حركة دوران الأنصال وهي كمية اتجاهية وتُحسب من خلال مخطط السرعة المبين في الشكل (2)، [10]



شكل (2) مخطط السرعة لدخول وخروج المائع خلال مرحلة لتوربين

القوة العماسية (F_y) المسببة لدوران المنظومة والتي نحصل عليها من خلال مخطط السرعة وكما يلي:

$$F_y = \dot{m}_g (C_2 \sin \alpha_2 - C_3 \sin \alpha_3) \quad \dots (5)$$

يتعرض النصل إلى قوة محورية ناتجة من انحدار الضغط على جانبي النصل والتي نحصل عليها بنفس الطريقة أعلاه.

$$F_x = \dot{m}_g (C_{a2} - C_{a3}) = \dot{m}_g (C_3 \cos \alpha_3 - C_2 \cos \alpha_2) \quad \dots (6)$$

يتم حساب القوى أعلاه بالاعتماد على موقع العنصر على طول النصل وعند منتصف نصف القطر ، وكذلك يمكن حساب قيم زوايا دخول وخروج لكل من الغاز والنصل ولأي موقع على طول النصل بالاعتماد على متوسط نصف القطر وفق المعادلات التالية:

$$\left. \begin{aligned} \tan \alpha_2 &= \left(\frac{r_m}{r} \right)_2 \tan \alpha_{2m} \\ \tan \alpha_3 &= \left(\frac{r_m}{r} \right)_3 \tan \alpha_{3m} \end{aligned} \right\} \quad \dots (7)$$

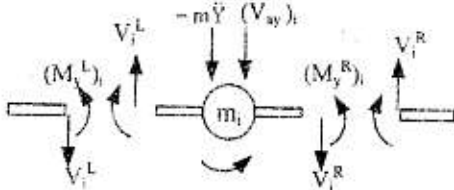
$$\left. \begin{aligned} \tan \beta_2 &= \left(\frac{r_m}{r} \right)_2 \tan \alpha_{2m} - \left(\frac{r}{r_m} \right) \frac{U_m}{C_{a2}} \\ \tan \beta_3 &= \left(\frac{r_m}{r} \right)_3 \tan \alpha_{3m} + \left(\frac{r}{r_m} \right) \frac{U_m}{C_{a2}} \end{aligned} \right\} \quad \dots (8)$$

أما العزوم الخارجية الناتجة جراء تأثير ضغط الغاز فيتم حسابها باستخدام معادلات أويلر للمكانن التوربينية (Eulers Turbomachinery Equation) التي تربط التغير في الطاقة مع التغير في الزخم .

- تسمى المصفوفة التي تربط بين متجهات الحالة لمحطة معينة بمصفوفة النقطة. وبصورة عامة، توجد ثلاث حالات من مصفوفة النقطة المأخوذة بنظر الاعتبار في البحث الحالي، والتي تغطي جميع الإمكانيات المترتبة عند أي محطة وعلى طول النظام، [7]، [8]، وهذه الحالات هي:
١. كتلة مجمعة (Lumped Mass) عند تلك المحطة.
 ٢. مواقع كراسي التحميل.
 ٣. مواقع السقوع (التي تمثلها الأنصال المتحركة على طول العمود الدوار).

الحالة (1) عنصر كتلة مجمعة عند المحطة (i)

يمثل الشكل (4) مخطط لكتلة نقطية مبيهاً عليها العزوم والقوى المؤثرة على يمينها و يسارها عند المحطة (i). بالإضافة الى وجود التأثير الجايروسكوبي على تلك المحطة، ومن الشكل نجد أن معادلات الاتزان للكتلة (m_i) في المستوي (XZ) كما يأتي:

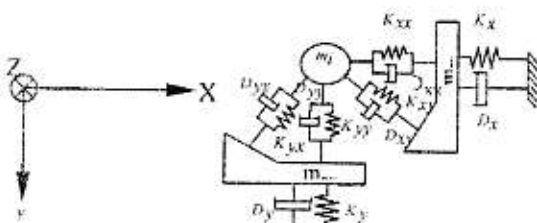


شكل (4) مخطط جسم حر لكتلة (m_i) في اتجاه محور Y الصيغة العامة لمصفوفة النقطة تكون بالشكل التالي:

$$\{\bar{Z}\}_i^R = [\bar{P}] \{\bar{Z}\}_i^L \dots (12)$$

الحالة (2) موقع كرسي تحميل عند المحطة (i)

في هذه الحالة، تفترض خلال التحليل تركيب ساند لكرسي تحميل ذو انثنائية. وتضمنت انحالة تأثير كل من العزم الجايروسكوبي، حمل نقطة، وتأثير قوى عدم الموازنة. يوضح الشكل (5) معاملات المرونة والتخميد لكل من كرسي التحميل والتركيب الساند في المستوي (Y X). [7].

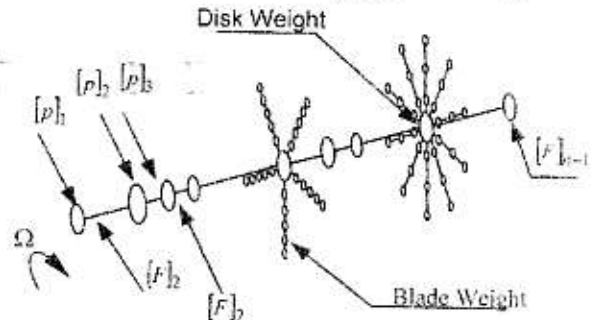


شكل (5) المسقط الجانبي لكرسي التحميل

٧. أي عدد من مصفوفات النقطة والمجال يمكن تطبيقها على النظام المحلل.
٨. جميع الأنصال المتحركة متماثلة.
٩. سرعة الغاز المحورية (C_{ii}) ثابتة على طول النصل المتحرك.
١٠. السرعة التدويمية تساوي السرعة الدورانية للمنظومة ($\omega = \Omega$).

التحليل النظري

تم بناء نموذج للمنظومة الغازية بأبعادها الثلاثة وباستخدام طريقة المصفوفات الانتقالية المعتمدة في هذا البحث، والتي تقوم على أساس تقسيم النظام الى كتل منتظمة تمتلك خواص عزم القصور الذاتي للأسطوانة دائرية المقطع صلبة، متصلة بأعمدة مهمة الوزن وذات مساحة مقطع ثابتة وسلوك تلك الأعمدة تبنى وفق صيغة انحناء اوليسر وقوى قص تيموشنكو (Timoshenko). حيث تعبر عن مقاطع النظام من خلال مصفوفة المجال (Field Matrix) (مصفوفة عناصر الممتبة) [F] التي لها علاقة بمتجهات الحالة (State Vector) عند نهايات أي مقطع من النظام، وكل محطة بالمنظومة تمتلك مصفوفة نقطة (مصفوفة عنصر الكتلة) [P] والتي لها علاقة بمتجهات الحالة عند يمين ويسار أي محطة (i) وكما يوضحه الشكل (3).



شكل (3) نموذج يوضح الطريقة المستخدمة في التحليل لجزء من منظومة غازية

متجه الحالة (State Vector)

متجه الحالة لنقطة معينة (i) للمنظومة هو متجه يتكون من إزاحات النقطة (i) والقوة الداخلية عند تلك النقطة ولكل محطة (Station) يوجد متجهان إحداهما على يمين المحطة ويرمز له بـ $\{\bar{Z}\}_i^R$ والآخر على يسارها ويرمز له بـ $\{\bar{Z}\}_i^L$ ويعرف متجه الحالة لحسابات ثلاثية الأبعاد كما يلي:

$$\{\bar{Z}\}_i^L = \begin{bmatrix} \bar{z}_x \\ \bar{z}_y \\ \bar{z}_z \\ \bar{z}_x \\ \bar{z}_y \\ \bar{z}_z \end{bmatrix} \dots (11)$$

مصفوفة النقطة (مصفوفة عنصر الكتلة)

(Point Matrix)

وبشكل عام تعرف مصفوفة التحويل [R] ، التي تحول إحداثيات النصل من أي موقع إلى إحداثيات النظام الرئيسي [9]، حيث α, β, γ تمثل زوايا النظام الرئيسي، وعندما تكون مصفوفة التحويل $\alpha = (\alpha + \omega t)$ و $\gamma = 0, \beta = 90$ على

$$[R] = \begin{bmatrix} 0 & \sin(\alpha + \omega t) & \cos(\alpha + \omega t) \\ 0 & \cos(\alpha + \omega t) & -\sin(\alpha + \omega t) \\ -1 & 0 & 0 \end{bmatrix} \dots (16)$$

يتم الحصول على المصفوفة (مصفوفة الضرب النهائية) لنظام الفرع والنصل واحد فقط بأجراء عملية الضرب المستمر لمصفوفات النقطة والمجال للنصل، وتمثل المصفوفة الناتجة من عملية الضرب العلاقة بين النهاية الحرة للفرع والنهاية المثبتة بقرص العمود الدوار وكما موضح بالشكل (7)، ويعبر عنها بمعادلة المصفوفة على النحو الآتي:

$$[Q]^k = \begin{bmatrix} U_{VV} & U_{VP} & U_V \\ U_{PV} & U_{PP} & U_P \\ 0 & 0 & 1 \end{bmatrix} [Q]^0 \dots (17)$$

$$Q = \{Z, X, Y, \phi_Z, \phi_X, \phi_Y\}$$

$$R = \{V_Z, V_X, V_Y, M_Z, M_X, M_Y\}$$

هي مصفوفات (6×6) التي تمثل العناصر للمصفوفة الانتقالية للفرع. U_V & U_P تمثل عناصر العمود من المعادلة (13) المصفوفة الانتقالية للفرع ومنتجه هذه المصفوفات ذات بعد (6×1) .

وبعد تعويض الشرط الحدي ($R=0$) (أي قيم قوى القص و العزوم تساوي صفراً عند النهاية الحرة للنصل) نحصل على المتجه (R^k) ونصل واحد فقط وترتيب المعادلة (17)، نحصل على:

$$R^k = U_{PV} U_V^T Q^k - U_{PP} U_V^T U_V + U_P \dots (18)$$

وللحصول على المصفوفة المفترضة للنظام الفرعي بأكمله يتم بعملية جمع المتجهات لكل نصل والحصول على المتجه الكلي (R^k) بعد إجراء عملية نقله إلى محاور النظام الرئيسي، ويؤخذ تأثيرها على مصفوفة النقطة في النظام الرئيسي من خلال عملية طرح متجه نظام الفرع (R^k) من متجه مصفوفة النقطة في النظام الرئيسي [13].

من خلال الشكل أعلاه يمكن التوصل إلى فرق قوى القص على يمين ويسار المحطة (i) وبالصيغة التالية.

$$\begin{bmatrix} R_i \\ R_{i+1} \\ Y_i \\ Y_{i+1} \end{bmatrix} = \begin{bmatrix} \cos \alpha \cos \alpha & \cos \alpha \sin \alpha \\ \sin \alpha \cos \alpha & \sin \alpha \sin \alpha \\ -\sin \alpha \cos \alpha & -\sin \alpha \sin \alpha \\ \cos \alpha \sin \alpha & \sin \alpha \sin \alpha \end{bmatrix} \dots (13)$$

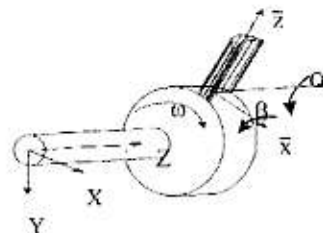
الحالة (3) موقع التفرع للأنصال

في هذه الحالة، نفترض وجود تراكيب متناظرة (الأنصال) لقرص العمود الدوار، حيث تتمذج هذه التراكيب بتوزيع عناصر الكتلة بصورة متناسقة لمقاطع الأنصال وتعتبر كفرع من النظام الرئيسي، لذلك فمصفوفة النقطة يجب أن تأخذ بالحسبان تأثير عناصر التفرع بالإضافة إلى التأثيرات الجيروسكوبية وتأثير قوى القص والحمل المنتشر على طول الأنصال والناتجة من تأثير ضغط الغاز، حيث يتم اختزال عناصر مصفوفة الفرع إلى مصفوفة فردية تأخذ تأثير العزم الجيروسكوبي بالإضافة إلى تأثير العزوم وقوى القص الداخلية على مصفوفة النقطة في النظام الرئيسي، وبسبب تأثير العزوم الجيروسكوبية على نظام التفرع (الأنصال المتحركة) والاختلاف بين قيم خواص كتلة العنصر (i) (عزم القصور الذاتي الدوراني) لمصفوفة النقطة باتجاه محاور النظام، لذلك يتم إعادة كتابة المعادلة (2) بالصيغة التالية:

$$[M_i] = -\Omega^2 [I_{oi}] [\bar{\phi}_i] - [M_{oi}] \dots (14)$$

يتم نقل مصفوفة عزم القصور الذاتي بين محاور المنظومة للجسم الحر باتجاه إحداثيات النظام الرئيسي والمبين في الشكل (5).

$$[\bar{I}_i] = [\bar{R}] [I_o] [\bar{R}]^T \dots (15)$$



شكل (6) نموذج لإحداثيات النظام (النصل مع العمود الدوار)

ويتطبيق هذه الشروط الحدية أعلاه عند النهايتين الحرتين لمتجهين الحالة تنتج.

$$\begin{bmatrix} \{U\}^R \\ \{U\}^L \\ \{T\} \end{bmatrix} = \begin{bmatrix} [a_1] & [a_2] & [a_3] & [a_4] & [a_5] \\ [a_6] & [a_6] & [a_7] & [a_8] & [a_5] \\ [a_9] & [a_{10}] & [a_{11}] & [a_{12}] & [a_1] \\ [a_{13}] & [a_{14}] & [a_{15}] & [a_{16}] & [a_2] \\ 0 & 0 & 0 & 0 & 0 \end{bmatrix} \begin{bmatrix} \{Z\}^R \\ \{Z\}^L \\ \{T\} \end{bmatrix} \quad \dots (21)$$

$$\{T\} = [AM]^{-1} \{G\} \quad \dots (22)$$

تمثل المعادلة (22) [8] حساب المقادير الجانبية المجهولة لمتجه الحالة عند النهاية الحرة للنظام، وبمجرد معرفة هذه المقادير يكون قد علم لدينا متجه الحالة الطرفي، ويمكن حساب الازاحات والقوى الداخلية على طول النظام (وبضمنها النظام الفرعي) من خلال عملية الضرب المستمر لمصفوفات النقطة والمجال الانتقالية.

النتائج والمناقشة

تم مناقشة النتائج التي تم الحصول عليها بمساعدة البرنامج المعد لأحتضان الجانب النظري وعلى النحو التالي:

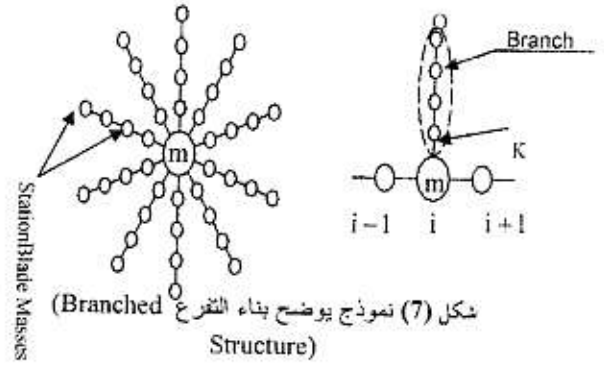
فقدان نسبة من كتلة النصل:

تم دراسة تأثير فقدان جزء أو بصورة كاملة من إحدى أضلاع منظومة توربينية-ضاغطة وبدون تأثير توزيع القوى والعزوم الخارجية على طول سطح النصل وملاحظة استجابتها، حيث تمت الدراسة على أنصال المرحلة الثانية للتوربين الغازي ذو (20) نصل وأفترض وجود عدم أتران والموضح في جدول (1).

جدول (1) يبين النسب المئوية المفترضة لخسارة جزء من نصل مع كتلتها وأطولها

Fraction of Blade Losses	Mass Losses (kg)	Length (m)
14%	0.277844	0.790989
47%	0.932762	0.763443
70%	1.389220	0.733104
100%	01.98460	0.705589
First & Third	03.96920	0.675063

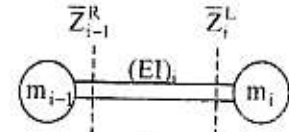
الجدول (2) يبين النسب المئوية المفترضة ومسرعا الحرجة الثلاث التي تم احتسابها، إذ بزيادة الجزء المفقود من نصل المرحلة الثانية يؤدي الى زيادة السرعة الحرجة ويعتمد مقدار هذه الزيادة على درجة السرعة الحرجة والنسبة المئوية المفترضة وقد يعود



شكل (7) نموذج يوضح بناء التفرع (Branched Structure)

مصفوفة المجال (Filed Matrix)

في اغلب الأحيان يتصل عنصر المقطع المهمل الوزن من نهايته بكتلتين مجتمعتين كما في الشكل (8). تسمى المصفوفة التي تربط بين متجه الحالة الأيمن (m_i) ومتجه الحالة الأيسر للكتلة (m_i) بمصفوفة المجال ويعبر عنها بالمعادلة التالية [8]، [9]:



شكل (8) يبين مقطع من عمود دوار

$$\{Z\}_i^L = [F]_i \{Z\}_{i-1}^R \quad \dots (19)$$

اختزال متجهات الحالة الوسطية

(Elimination of Intermediate State Vector)

لتوضيح عملية الاختزال نأخذ الشكل (3)، حيث يمكن إيجاد متجه الحالة عند المحطة (n) بدلالة متجه الحالة عند الحد $\{Z\}_1^L$ بالصيغة التالية: [8]، [9]

$$\{Z\}_n^R = [F]_n [F]_{n-1} [F]_{n-1} [F]_{n-2} [F]_{n-2} \dots [F]_2 [F]_2 [F]_1 [F]_1 \{Z\}_1^L \quad \dots (20)$$

$$\{Z\}_n^R = [B]_n \{Z\}_1^L$$

حيث أن $[B]_n$ مصفوفة النظام الكلي والتي تمتلك بعد (25x25) والبعد لنهاية المتجهين

$\{Z\}_1^L$ و $\{Z\}_n^R$ هو (25x1) على التوالي.

الشروط الحدية وحساب السرعة الحرجة

استجابة النظام سوف تحسب عند جميع المحطات تحت الشروط التالية:

قيم قوى القص وعزوم الانحناء في الاتجاهات الثلاث X, Y, Z عند النهاية الحرة للنظام تساوي صفراً،

تزداد عند تغير الزوايا التصميمية لدخول وخروج الغاز والنصل والشكل (14) يبين توزيع قيم السعات الاهتزازية بأبعادها الثلاث على طول العمود الدوار لمدى من السرعة الدورانية وحالة تغير الزوايا التصميمية، حيث نلاحظ زيادة هذه القيم عند زيادة القوى الخارجية على طول سطح النصل، الشكل (15) يوضح توزيع عزم الانحناء على طول النصل ولحالتين من الزوايا، إذ يلاحظ زيادة عزم الانحناء عند زيادة القوى الخارجية. أما الشكل (16) يبين تأثير تغير الزوايا على قيم توزيع المقادير الجانبية للاهتزاز حيث بتغير الزوايا يؤدي إلى ترحيف هذه القيم إلى سرعة أعلى من سرعة الدوران، وعدم تأثيرها على شكل الطور الاهتزازي.

جدول (3) بين تغير الزوايا التصميمية وأقصى سعة اهتزاز عند السرعة الحرجة

Design Angle	سعة اهتزاز الأضراس		السرعة الحرجة الثانية		السرعة الحرجة الثالثة	
	N1 p.r	amplitude (mm)	N2 p.r	amplitude (mm)	N3 p.r	amplitude (mm)
1st Angle	5050	3.1847	7820	0.3457	12780	1.1667
2nd Angle	5050	3.6140	7820	0.3929	12780	1.2571

الاستنتاجات

1. أن زيادة الجزء المقفود من النصل الواحد يؤدي إلى زيادة السرعة الحرجة وقيم أقصى سعة اهتزاز على طول العمود الدوار وتعتمد هذه الزيادة على مرتبة السرعة الحرجة والنسب المثوية لفقدان كتلة النصل.
2. تزداد قيم قوى القص وعزم الانحناء على طول النصل الواحد في ذات المرحلة بزيادة فقدان عدد الأنصال، كما لا يتأثر شكل الطور الاهتزازي للنظام بزيادة النسب المقفودة للأنصال عند مراتب السرعة الحرجة.
3. أن تغير الزوايا التصميمية للنصل تؤدي إلى زيادة قيم السعات الاهتزازية عند مراتب السرعة الحرجة إلا أنه لا يؤثر على تغير قيم السرعة الحرجة، كما لا يؤثر على شكل الطور الاهتزازي عند مراتب السرعة الحرجة.

المصادر

1. H.A.Saleh, "Investigation into the forced Vibration of Hollow Turbine Blade"

السبب في ذلك إلى زيادة قوى عدم الاتزان وارتفاع قوى القص وعزم الانحناء التي تؤثر على قيم الميل و السعات الاهتزازية والشكل (10) يوضح ذلك، وكذلك يلاحظ من الجدول بأن أقصى قيم لسعات الاهتزاز تزداد بزيادة الكتل المقفودة والشكل (9) يوضح ذلك.

جدول (2) يبين النسب المثوية المفترضة وأقصى سعة اهتزاز عند السرعة الحرجة

Fraction of Inde Loss	السرعة الحرجة الأولى		السرعة الحرجة الثانية		السرعة الحرجة الثالثة	
	N1 p.r	amplitude (mm)	N2 p.r	amplitude (mm)	N3 (r.p.m)	amplitude (mm)
14%	5056	0.1492	8090	0.03336	12790	0.1548
47%	5057	0.3990	8124	0.08470	12800	0.3445
70%	5058	0.5659	8130	0.12129	12802	0.4713
100%	5060	1.0664	8136	0.23248	12806	0.8519
1st & this	5061	1.8637	8142	0.40294	12808	1.4507

الشكل (11) يبين توزيع عزم الانحناء على طول النصل الواحد ولسرع دورانية مختلفة وبفقدان نصل واحد ونصلين، إذ يلاحظ أنه بزيادة عدد الأنصال المقفودة تؤدي إلى زيادة قيم عزم الانحناء وقوى القص على طول النصل، أما شكل الطور الاهتزازي فيوضح من الشكل (12) بأنه لا يتأثر بفقدان أجزاء من النصل.

تغير زوايا دخول وخروج النصل والمائع:

دراسة تأثير تغير الزوايا التصميمية للدخول وخروج المائع والنصل عند متوسط نصف القطر، حيث تمت الدراسة على نصل المرحلة الثانية للتوربين الغازي. افترض وجود عدم اتزان عند التقاء النظام الرئيسي والتفرع مقداره (0.0853 kg.m) وبزاوية طور (0°). تم اخذ حالتين من الزوايا التصميمية عند متوسط نصف القطر هي:

1. زاوية دخول وخروج الغاز من و إلى المرحلة هي ($\alpha_2=58.383^\circ$)، ($\alpha_3=10^\circ$) على التوالي وزاوية دخول وخروج النصل هي ($\beta_2=20.483^\circ$)، ($\beta_3=54.95^\circ$) على التوالي [10].
2. زاوية دخول وخروج الغاز من وإلى المرحلة هي ($\alpha_2=72.05^\circ$)، ($\alpha_3=30.09^\circ$) على التوالي وزاوية دخول وخروج النصل هي ($\beta_2=43.4^\circ$)، ($\beta_3=66.54^\circ$) على التوالي [11].

الجدول (3) يبين تغير الزوايا التصميمية وأقصى سعة اهتزاز عند السرعة الحرجة، إذ يلاحظ من الشكل (13) أن قيم السعات الاهتزازية

- Performance of Crank Shaft Bearing System in a Diesel Engine", Ph.D. Thesis, Mechanical Engineering, University of Technology , October 1996.
9. H.H. Priebisch et. Al. ;"Prediction Technique for- Stress and Vibration of nonlinear Supported Rotating Crankshafts" Journal of Engineering for gas Turbine and Power, Vol.115, October, 1993, Page (711-720).
10. H.Cohen et. al. ;"Gas Turbine Theory",Printed by Longman Group Ltd., London, UK,1981,Page(182-224).
11. M.Arai et. al ;"Research and Development on the HPT of the 100B", Journal of Engineering for gas Turbine and Power, Vol.110, April,1988.
12. Thomson, William T.;"Theory of Vibration with Application ",University of California, Hyman Ltd., London,1988.
- M.sc.thesis,University of Baghdad, College of Engineering,October 1979.
2. J.A.Fabunmi J. A.,"Forced Vibration of aSingle Stage Axial Compressor Rotor .,"Journal of Engineering for Power, Vol. 102, No.2,Page (322-328),April ,1980.
3. M.Sakata et. Al.,"Transient Vibration of High -Speed ,Lightweight Rotors Due to Sudden Imbalance", Journal of Engineering for Power ,Vol.105 ,No .3,Page (480-486),July ,1983.
4. Kaushal ,AShock ,"Comprehensive Dynamic Analysis of A Bladed Disk – Turborotor –Bearing System (Turborotor) ",DAI-B 53/12, Page (6506),Jun ,1993.
5. N.F. Rieger Shixiang Zohu , "Development and Verification of Transfer Matrix Unbalance Response Procedure for Three-Level Rotor – Foundation Systems ,"Journal Vibration and Acoustic ,Vol .120,Page (240-251),January ,1998.
6. N.F.Rieger Shixiang Zhou , "Anstability Analysis Procedure for Three- Level Multi-Bearing Rotor – Foundation System ",Journal Vibration and Acoustic ,Vol .120,page (753-762),July ,1998.
7. M.A. Tawfik, "Lateral Vibration of Branched Systems in Particular Vertical Machines ,"M,Sc. Thesis ,Cranfield Institute of technology ,1987.
8. M.A. Tawfik , "The Effect of Misalignment on the Dynamic Performance of Shaft Bearing System in Dynamic

قائمة الرموز

الوحدة	المعنى	الرمز
	مصفوفة المجال المعقدة	$[\bar{F}]$
	مصفوفة النقطة المعقدة	$[\bar{P}]$
kg	كتلة النقطة (i)	m_i
kg / s	معدل تدفق الغاز	\dot{m}_g
m	متجه الحالة	$\{z\}$
N	متوسط نصف القطر	r_m
N	القوة المماسية	F_y
N	القوة المحورية	F_x
degree	زاوية دخول وخروج الغاز عند متوسط نصف القطر	α_{2m}, α_{3m}
degree	زاوية دخول وخروج	β_{2m}, β_{3m}

الرمز	المعنى	الوحدة	الرمز	المعنى	الوحدة
	النصل عند متوسط			النصل عند متوسط	
	نصف القطر			نصف القطر	
	الانحرافات في			الانحرافات في	
Z, Y, X	الاتجاهات Z, Y, X	m	Z, Y, X	الاتجاهات Z, Y, X	m
	على الترتيب			على الترتيب	
	زوايا الميل حول Z, Y, X	degree		زوايا الميل حول Z, Y, X	degree
ϕ_z, ϕ_y, ϕ_x	على الترتيب		ϕ_z, ϕ_y, ϕ_x	على الترتيب	
	مركبات قوى القصر في			مركبات قوى القصر في	
V_z, V_y, V_x	الاتجاهات Z, Y, X على	N	V_z, V_y, V_x	الاتجاهات Z, Y, X على	N
	الترتيب			الترتيب	
	مركبات عزوم الانحناء			مركبات عزوم الانحناء	
M_z, M_y, M_x	في الاتجاهات Z, Y, X	N.m	M_z, M_y, M_x	في الاتجاهات Z, Y, X	N.m
	على الترتيب			على الترتيب	
	السرعة المطلقة لخروج			السرعة المطلقة لخروج	
C_2, C_3	ودخول الغاز على	m/s	C_2, C_3	ودخول الغاز على	m/s
	الترتيب			الترتيب	
	السرعة النسبية لخروج			السرعة النسبية لخروج	
V_2, V_3	ودخول الغاز	m/s	V_2, V_3	ودخول الغاز	m/s
	عزم القصور الذاتي			عزم القصور الذاتي	
I_z, I_y, I_x	للكثافة باتجاه Z, Y, X على	kg.m ²	I_z, I_y, I_x	للكثافة باتجاه Z, Y, X على	kg.m ²
	الترتيب			الترتيب	
	قوى القصر الخارجية			قوى القصر الخارجية	
V_{ax}, V_{ay}, V_{az}	باتجاه X, Y, Z على	N	V_{ax}, V_{ay}, V_{az}	باتجاه X, Y, Z على	N
	الترتيب			الترتيب	
	عزوم الانحناء الخارجية			عزوم الانحناء الخارجية	
M_{ax}, M_{ay}, M_{az}	باتجاه X, Y, Z على	N.m	M_{ax}, M_{ay}, M_{az}	باتجاه X, Y, Z على	N.m
	الترتيب			الترتيب	
	السرعة الدورانية			السرعة الدورانية	
ω_i		r.p.m	ω_i		r.p.m
	السرعة الترددية			السرعة الترددية	
Ω_i		r.p.m	Ω_i		r.p.m
	مركبات عدم الموازنة			مركبات عدم الموازنة	
	للعמוד الدوار في			للعמוד الدوار في	
U_x^*, U_y^*	الاتجاهات X, Y على	kg.m	U_x^*, U_y^*	الاتجاهات X, Y على	kg.m
	الترتيب			الترتيب	
	العزم المسلط في			العزم المسلط في	
τ_A	الضغوط	N.m	τ_A	الضغوط	N.m
	العزم الخارج من			العزم الخارج من	
τ_o	التوربين	N.m	τ_o	التوربين	N.m

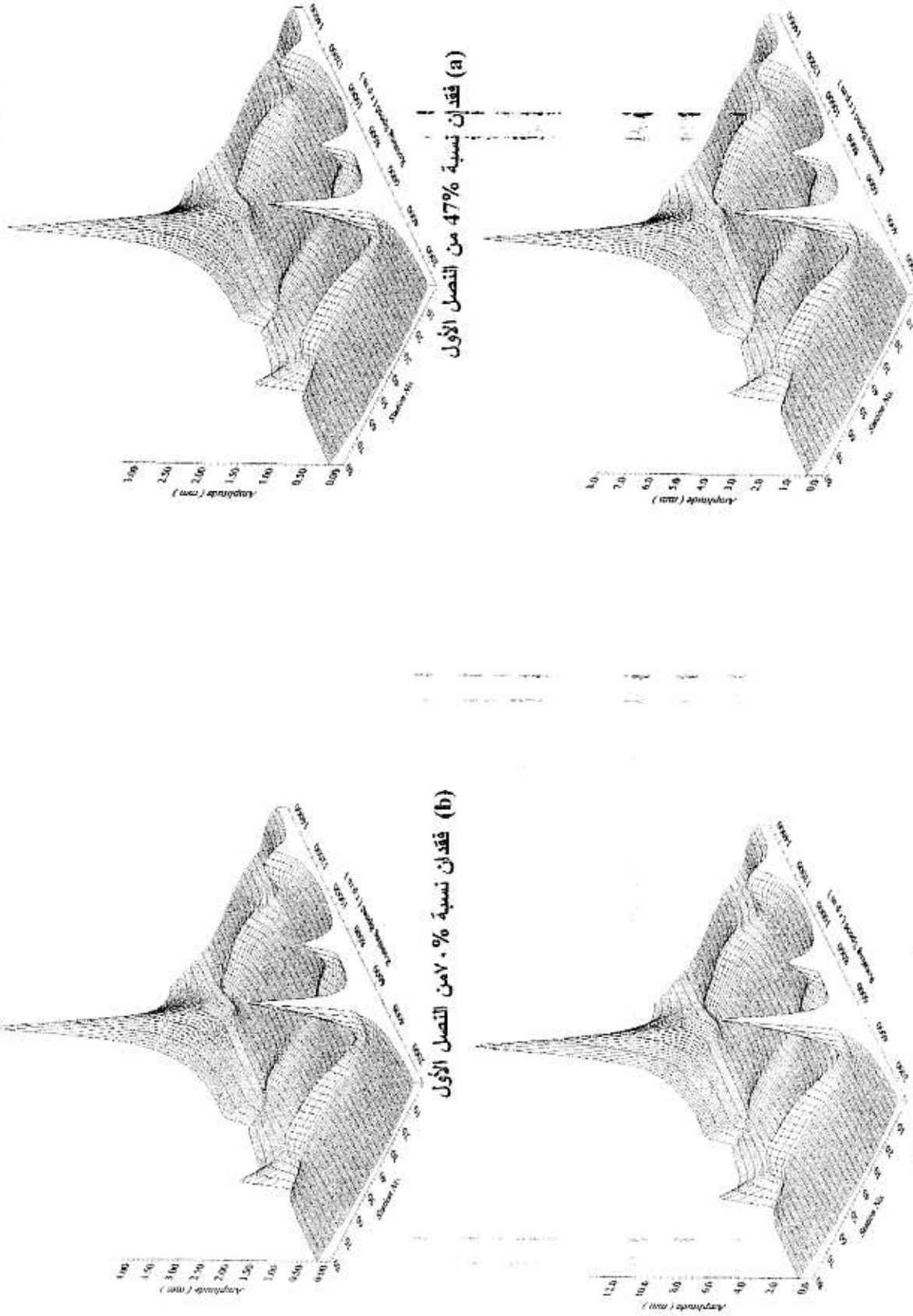
الرمز	المعنى	الوحدة
D_{xx}, D_{yy}	معاملات تخميد كرسي التحميل	(N.s/m)
D_{yx}, D_{yy}	معاملات تخميد مسند كرسي التحميل	(N.s/m)
D_x, D_y	معاملات صلابة كرسي التحميل	N/m
K_{xx}, K_{xy}	معاملات صلابة قاعدة مسند كرسي التحميل	N/m
K_{yx}, K_{yy}	معاملات صلابة قاعدة مسند كرسي التحميل	N/m
K_x, K_y	كتل قاعدة المسند في اتجاه y, x على الترتيب	kg
m_{py}, m_{px}		

الرموز العلوية

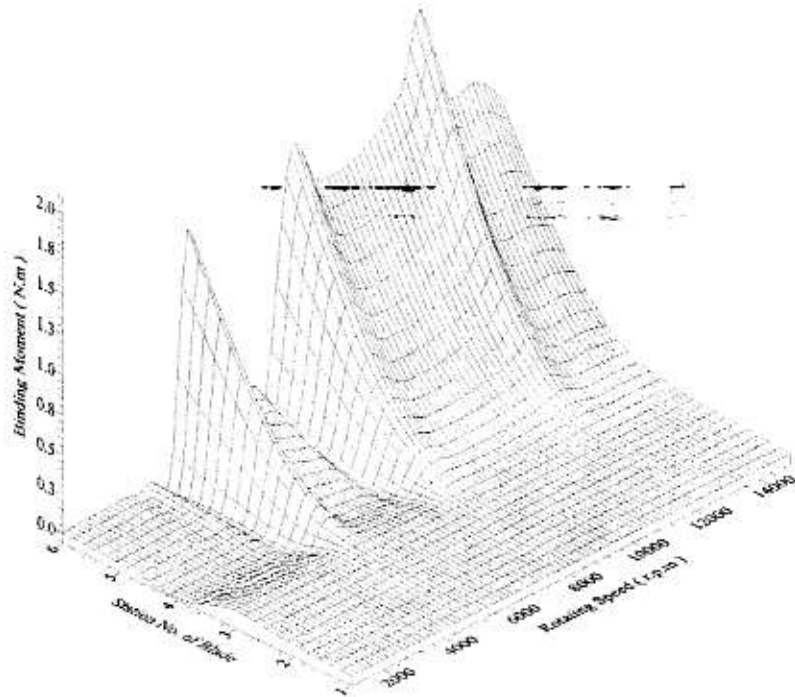
L	يشير إلى أن المقدار أو المتجه يقع على يسار المحطة
R	يشير إلى أن المقدار أو المتجه يقع على يمين المحطة

الرموز السفلية

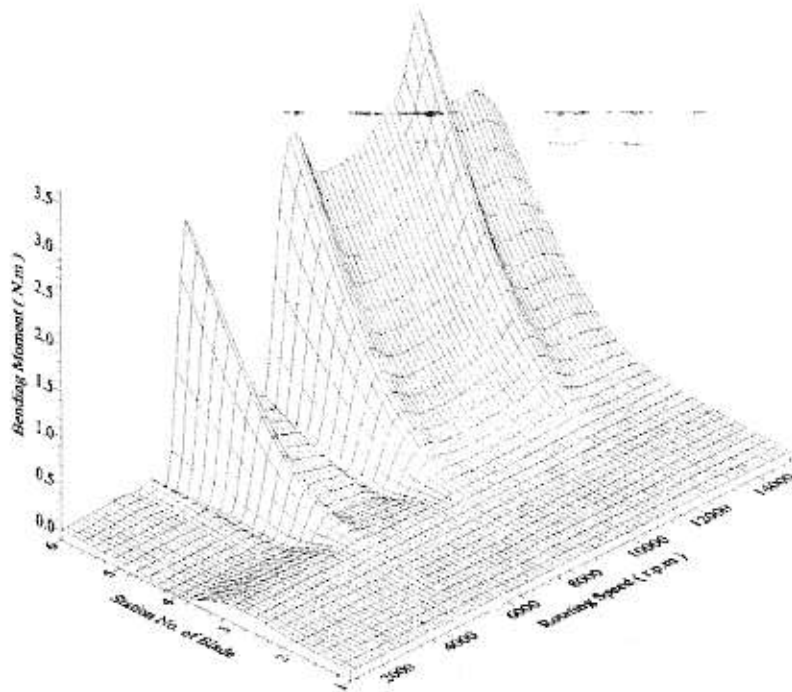
i	يشير إلى عدد المحطات للنظام
x, y, z	تشير إلى المتغيرات في الاتجاهات x, y, z .
a	تشير إلى المتغيرات الخارجية.



شكل (10) توزيع السعات الاهتزازية على طول العمود الدوار لمدى من السرعة الدورانية وحالات مختارة من نسب فقدان كتلة نصل



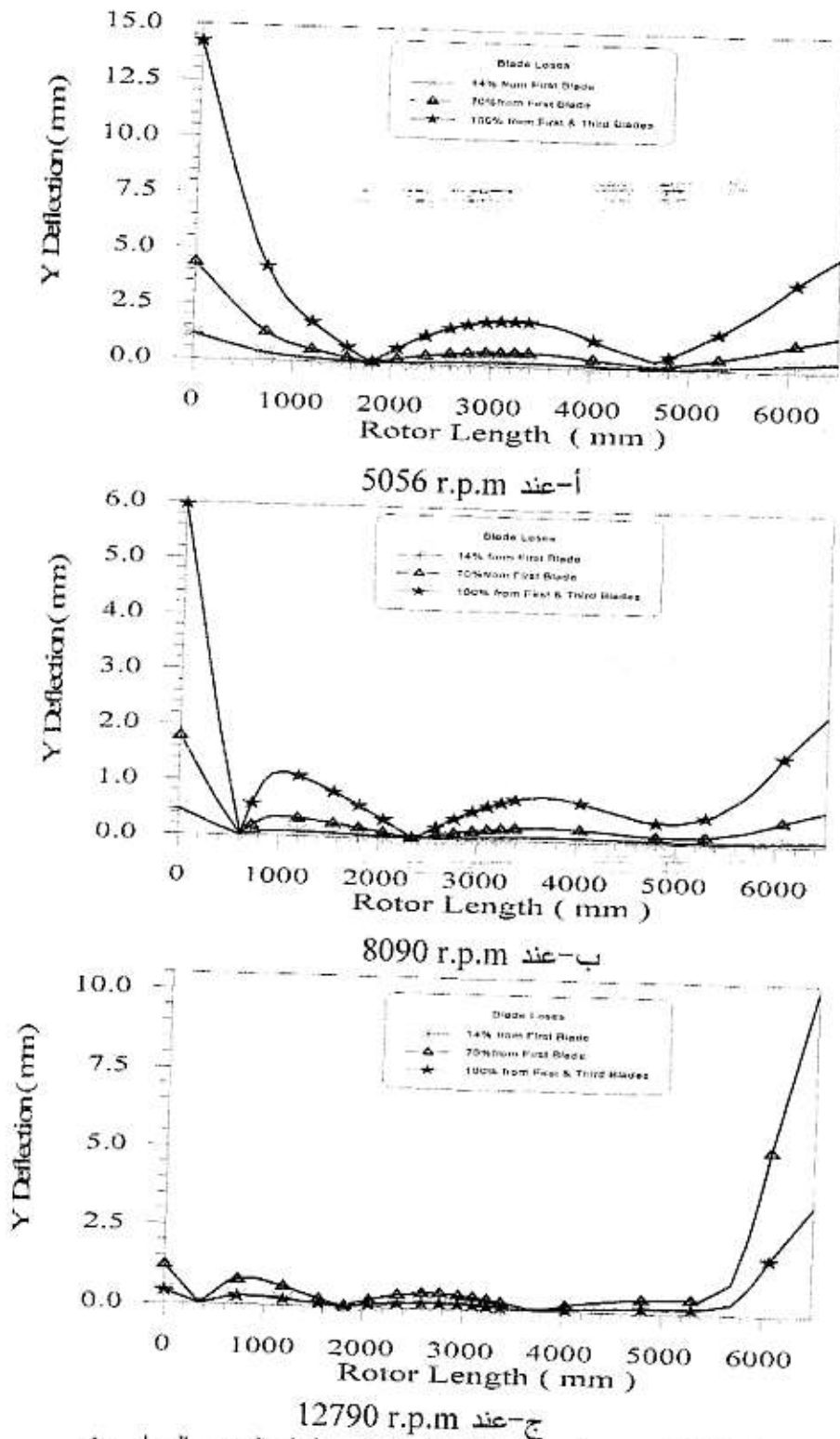
(a) فقدان نصل واحد.



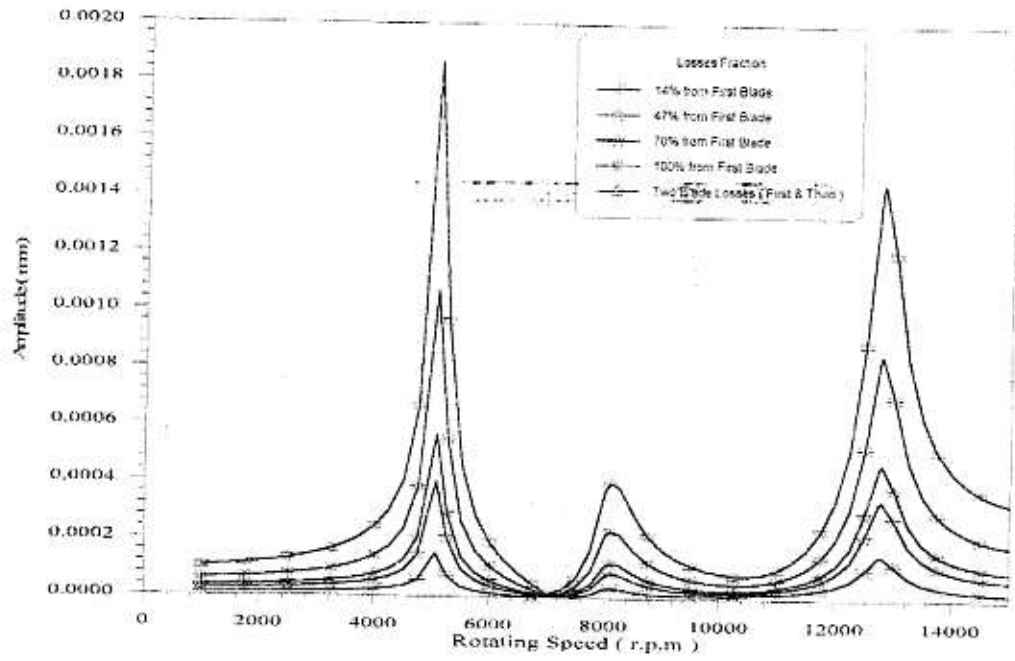
(b) فقدان نصليين.

شكل (11) توزيع عزم الانحناء على طول النصل الواحد ولسرع دورانية

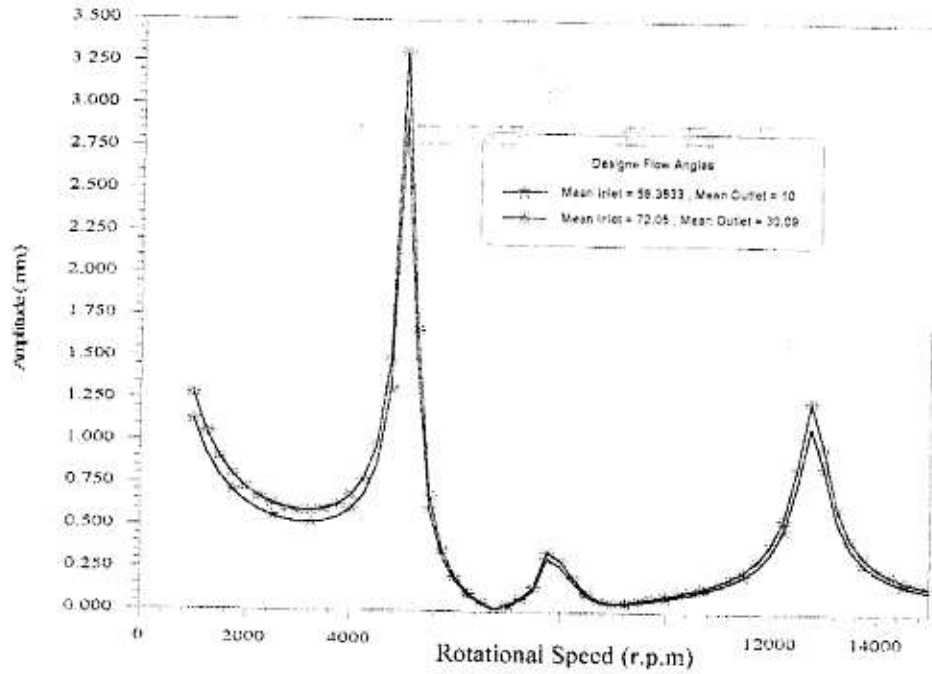
مختلفة وبفقدان نصل واحد ونصليين



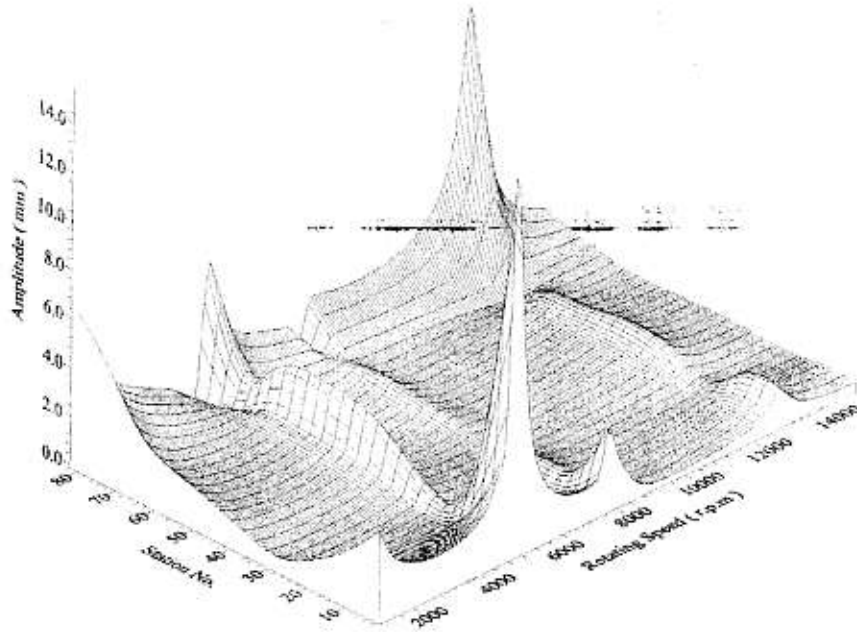
شكل (12) توزيع السعات الاهتزازية على طول العمود الدوار عند السرع الحرجة ولثلاث حالات مختارة من نسبة فقدان نصل



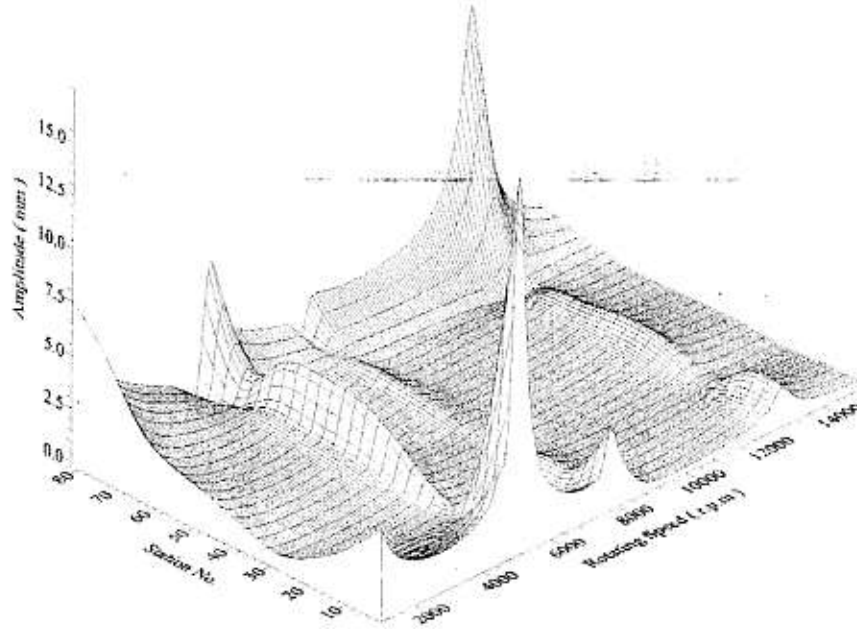
شكل (9) تأثير فقدان نسب من كتلة الضلع على الاستجابة الدينامية للنظام



شكل (13) تأثير تغير الزوايا التصميمية على الاستجابة الدينامية للنظام

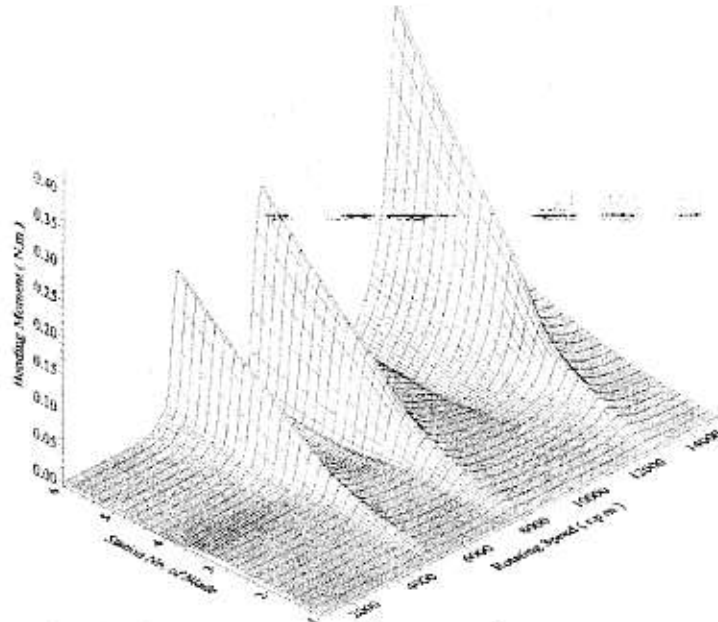


(a) زوايا دخول وخروج المانع ($\alpha_3=58.3833^0$, $\alpha_2=10^0$) على التوالي وزوايا دخول وخروج النصل ($\beta_3=54.95^0$, $\beta_2=20.483^0$) على التوالي

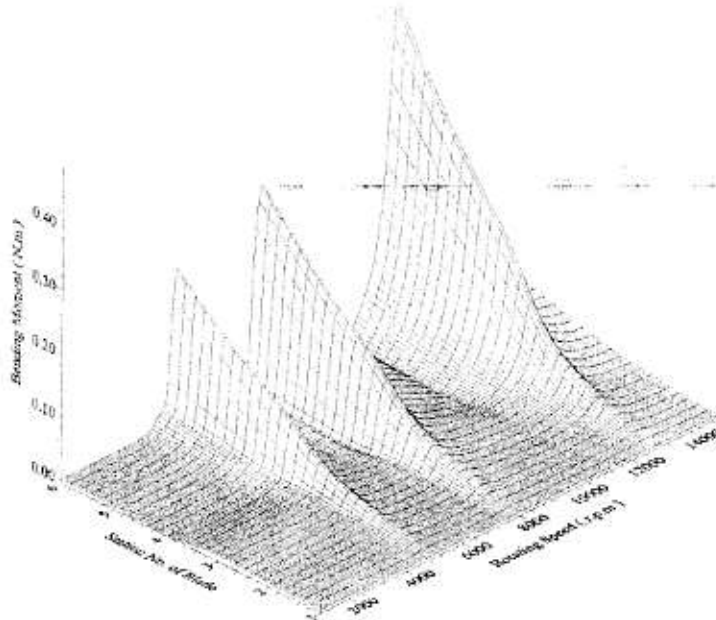


(b) زوايا دخول وخروج المانع ($\alpha_3=72.05^0$, $\alpha_2=30.09^0$) على التوالي وزوايا دخول وخروج النصل ($\beta_3=66.54^0$, $\beta_2=43.4^0$) على التوالي

شكل (14) توزيع السعات الاهتزازية على طول العمود الدوار لمدى من السرعة الدورانية وحالتين من الزوايا التصميمية

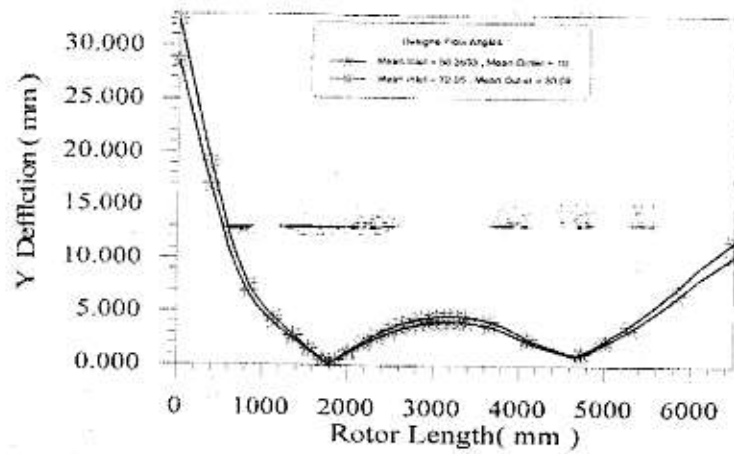


(a) زوايا دخول وخروج المائع ($\alpha_2=10^0$, $\alpha_3=58.3833^0$) على التوالي وزوايا دخول وخروج النصل ($\beta_2=20.483^0$, $\beta_3=54.95^0$) على التوالي

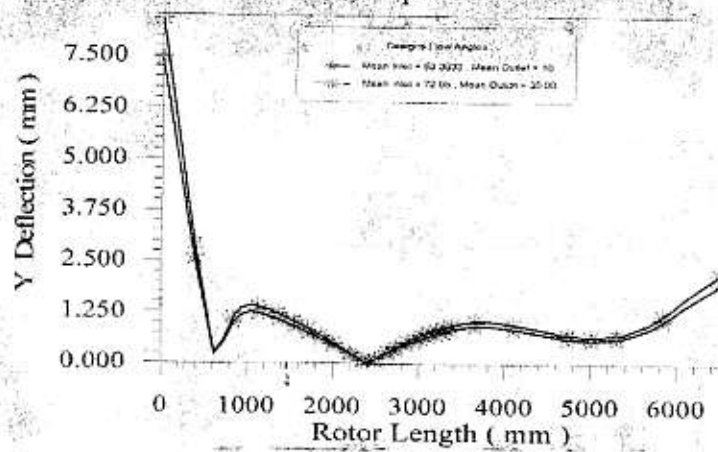


(b) زوايا دخول وخروج المائع ($\alpha_2=30.09^0$, $\alpha_3=72.05^0$) على التوالي وزوايا دخول وخروج النصل ($\beta_2=43.4^0$, $\beta_3=66.54^0$) على التوالي

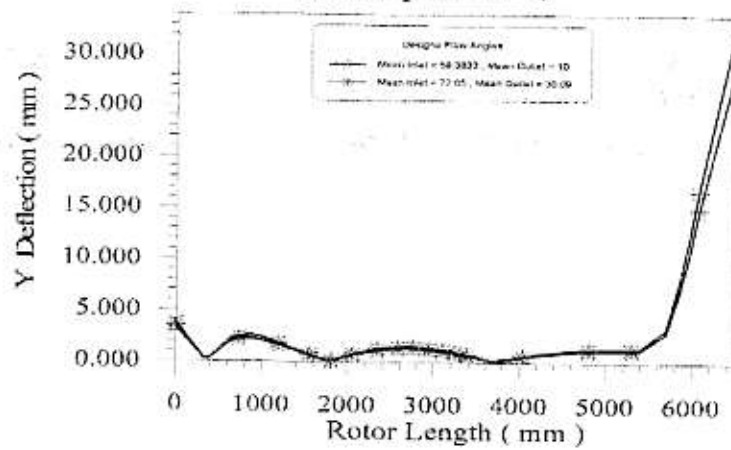
شكل (15) توزيع عزم الانحناء على طول النصل لمدى من السرعة الدورانية ولحالتين من الزوايا التصميمية



أ- عند 5050 r.p.m



ب- عند 7820 r.p.m



ج- عند 12780 r.p.m

شكل (16) توزيع السعات الاهتزازية على طول العمود الدوار عند السرعة الحرجة ولحالتين من الزوايا التصميمية